archivos de investigación médica

vol 9 | 1978

publicada por el instituto mexicano del seguro social

contenido del volumen nueve 1978

contents of volume nine 1978

ARCHIVOS DE INVESTIGACION MEDICA
Publicada por el Instituto Mexicano del Seguro Social. Volumen anual: 4 números. Subscripción anual $300.00, extranjero: $20.00 U.S. cy. Franquicia postal. Toda correspondencia o fondos deberán enviarse a Archivos de Investigación Médica. Apdo. Postal 12-631. México 12, D.F. La reproducción parcial o total del contenido de este número puede hacerse previa aprobación del editor y mención de la revista. Impreso en México por Ediciones Culturales Mexicanas, S.A.

Consejo Editorial	CARLOS BEYER-FLORES SILVESTRE FRENK PEDRO GOMEZ AMADOR GONZALEZ-ANGULO MARIO LIEBERMAN NORBERTO TREVIÑO-GARCIA MANZO JUAN URRUSTI-SANZ
Editor	JUAN SOMOLINOS-PALENCIA
Editores Asociados	SANTIAGO SAPIÑA-RENARD GONZALO VEGA Y MONROY
Traducción	MARILUZ VILLANUEVA DE DURAZO
Asistente Editorial	MAGDALENA HERNANDEZ-PAREDES

número 1

Inhibidores de tripsina y hemaglutininas en algunas leguminosas comestibles. Trypsin inhibitors and hemagglutinins in certain edible leguminosae. Angela Sotelo-López, Miguel Hernández-Infante, María Elena Arteaga-Cruz. 1

Marcación de enzimas proteolíticas de linfoblastos malignos. Estudio en el linfoma murino L5178Y. Proteolytic enzymes marking of malignant lymphoblasts. Study of the L5178Y murine lymphoma. Héctor Gómez-Estrada, Jorge Arellano-Blanco, María Teresa González-Garza, Guadalupe Tapia-Arizmendi, Guadalupe Cervantes. 15

Inducción de la autólisis de linfoblastos malignos. Autolysis induction of malignant lymphoblasts. María Teresa González-Garza, Pedro Fernández-Quintero, Jorge Arellano-Blanco, Héctor Gómez-Estrada. 33

Reacción de inmunofluorescencia indirecta en cisticercosis. Indirect immunofluorescence reaction in cysticercosis. Dolores González-Barranco, Martha Enriqueta Sandoval-Islas, Víctor Manuel Trujillo-Valdés. 51

Efectos de la administración de manitol y furosemida en la hemodinamia renal del perro. Effects of administration of mannitol and furosemide in the renal hemodynamics of the dog. Heriberto Arcila-Herrera, Helberto Novelo-Rosado, Renán Góngora-Biachi, Alicia Zapata de Hernández, Efraín Ceh-Castillo, María F. González de Arcila. 59

Efectos de las condiciones de luz ambiental sobre la ultraestructura de la glándula de Harder de la rata recién nacida. Correlación bioquímica con glándula pineal. Effects of the environmental light conditions on the ultrastructure of the Harderian gland in the newborn nat. Biochemical co-relation with the pineal gland. Alfredo Feria-Velasco, Guadalupe Tapia-Arizmendi, Isabel Malpica. 67

suplemento 1

Séptimo seminario sobre amibiasis: Palabras de bienvenida. Bernardo Sepúlveda. 85

Palabras del señor doctor Gilberto Flores Izquierdo, Subdirector General Médico del IMSS, con motivo de la celebración del VII Seminario sobre Amibiasis. 87

Biological oxidations and flavoprotein catálisis in Entamoeba histolytica. Eugene C. Weinbach, C. Elwood Claggett, Tsutomu Takeuchi, Louis S. Diamond. 89

Composición de la pared celular de quistes de Entamoeba invadens. Angel Arroyo-Begovich, Alfonso Carabez-Trejo, José Ruíz-Herrera. 99

Formación de la pared celular durante el enquistamiento de Entamoeba invadens. Angel Arroyo-Begovich, Adolfo Martínez-Palomo, Ma. Eugenia Sánchez-Pares. 105

Estructura ultramicroscópica de la pared de quistes de Entamoeba invadens, E. histolytica y E. coli. Bibiana Chávez, Adolfo Martínez-Palomo, Margarita de la Torre. 113

Inestabilidad del contenido de DNA en Entamoeba histolytica. Rubén López-Revilla, Rodolfo Gómez. 117

Isolation and sedimentation analysis of RNA from Entamoeba histolytica. Pravatchai Boonlayangoor, Michael Otten, Theodore Booden, Richard A. Albach. 121

Composición de aminoácidos en las proteínas totales de dos cepas de Entamoeba histolytica *en cultivo axénico.* Rubén López-Revilla, Vicente Navarro. 129

Uptake of selected pyrimidines by axenically grown Entamoeba histolytica. Theodore Booden, Richard A. Albach, Pravatchai Boonlayangoor. 133

Membrane bound pyrophosphatases in Entamoeba histolytica. John Mc-Laughlin, Donald G. Lindmark, Miklos Müller. 141

Inmunoquímica de proteínas inmunogénicas de Entamoeba histolytica. Nereida Sánchez-Márquez, Fernando García-Tamayo, Jesús Kumate. 149

Actividad citopatogénica en extractos de trofozoítos de E. histolytica. Salvador Said-Fernández, Rubén López-Revilla. 155

Efectos de ácido nordihidroquayarético y etanol sobre el crecimiento de Entamoeba invandens. Juan José Segura. 157

Symposium on the virulence of Entamoeba hustolytica. *a) Introductory remarks.* Louis S. Diamond. 163

Symposium on the virulence of Entamoeba histolytica. *b) Amebal viruses and the virulence of* Entamoeba histolytica. Carl F. T. Mattern, Louis S. Diamond, David B. Keister. 165

Symposium on the virulence of Entamoeba histolytica. *c) Variable toxicity within the HK 9 strain of* Entamoeba histolytica. Hans J. Bos, R.J.Van den Griend. 167

Caracterización de moléculas superficiales de Entamoeba invadens. Héctor Acosta Valle, Ma. de Lourdes Muñóz M., Jesús Calderón. 175

Redistribución de antígenos superficiales de entamoebas y su caracterización inmunoquímica. Ma. de Lourdes Muñóz M., Héctor Acosta-Valle, Jesús Calderón. 183

Surface ultrastructure of Entamoeba histolytica: *a study by high voltage transmission electron microscopy (HVTEM) and scanning electron microscopy (SEM).* William B. Lushbaugh, Ann F. Hofbauer, Fred E. Pittman, Joan C. Pittman. 191

The development and standardization of an ELISA method for the detection of Entamoeba histolytica *antigens in fecal samples.* David M. Root, Francis X. Cole, James A. Williamson. 203

Identificación de antígenos de membrana de Entamoeba histolytica *con anticuerpos de pacientes de amibiasis.* Michael Parkhouse, Ma. Eugenia Cid, Jesús Calderón. 211

Fagocitosis de eritrocitos humanos por Entamoeba histolytica: *estudio cuantitativo.* Dorotea Trissl, Adolfo Martínez-Palomo, Margarita de la Torre, Rafael de la Hoz, Eva Pérez de Suárez. 219

Production of cecal lesions in newborn guinea pigs with axenically cultivated Entamoeba histolytica. Louis S. Diamond, Miguel Tanimoto-Weki, Adolfo Martínez-Palomo. 223

Cultivo y establecimiento de nuevas cepas mexicanas de Entamoeba histolytica. Eva Pérez de Suárez, Margarita de la Torre, Rafael de la Hoz. 229

Citotoxicity of a cell free extract of Entamoeba histolytica. William B. Lushbaugh, Andrew B. Kairalla, J. Robert Cantey, Ann F. Hofbauer, Joan C. Pittman, Fred E. Pittman. 233

Clonal growth of Entamoeba *in agar: Some applications of this technique to the study of their cell biology.* Frances D. Gillin, Louis S. Diamond. 237

Protective inmunity and possible autoimmune regulation in amebiasis. Eugene Meerovitch. D.P. Hartman, E. Ghadirian. 247

Restoration of virulence of axenically-cultivated Entamoeba histolytica *by cholesterol.* Eugene Meerovitch, E. Ghadirian. 253

Un modelo in vitro para el estudio cuantitativo de la virulencia de E. histolytica. Esther Orozco, Adolfo Martínez-Palomo, Rubén López-Revilla. 257

Interacción entre Entamoeba histolytica *y el epitelio cecal del cobayo.* José Mora Galindo, Adolfo Martínez-Palomo, Bibiana Chávez. 261

Estudio ultramicroscópico de la invasión de la mucosa del colon por Entamoeba histolytica *en cultivo axénico.* Norberto Treviño-García Manzo, Elodia Cruz de Lavín, Miguel Tanimoto-Weki. 275

Serología con polisacáridos de Entamoeba histolytica. Armando Isibasi, Nereida Sánchez-Márquez, Fernando García-Tamayo, Jesús Kumate. 285

Activación de la vía alterna del complemento por varias cepas axénicas de Entamoeba histolytica. Norma R. Capín, Ruth Capín, Guillermo Zamacona, Librado Ortíz-Ortíz. 291

Determinación de complemento y vía alterna del complemento en pacientes con absceso hepático amibiano. Norma R. Capín, Magdalena Jiménez, Guillermo Zamacona, Librado Ortíz-Ortíz. 297

Reacción inmunitaria de hamsters infectados o inmunizados con Entamoeba histolytica. Daniel Ríos, Ruth Capín, Librado Ortíz-Ortíz. 303

Simposio: Inducción de inmunidad protectora antiamibiana con "nuevos" antígenos en el hamster lactante. a) Introducción. Bernardo Sepúlveda, Angel Arroyo-Begovich, Miguel Tanimoto-Weki, Adolfo Martínez-Palomo, Librado Ortíz-Ortíz. 309

Simposio: Inducción de inmunidad protectora antiamibiana con "nuevos" antígenos en el hamster lactante. b) Material antigénico. Angel Arroyo-Begovich. 311

Simposio: Inducción de inmunidad protectora antiamibiana con "nuevos" antígenos en el hamster lactante. c) Técnicas utilizadas: lesiones macroscópicas. Miguel Tanimoto. 315

Simposio: Inducción de inmunidad protectora antiamibiana con "nuevos" antígenos en el hamster lactante. d) Histopatología. Adolfo Martínez-Palomo. 321

Simposio: Inducción de inmunidad protectora antiamibiana con "nuevos" antígenos en el hamster lactante. e) Reacción inmunológica. Librado Ortíz-Ortíz. 325

Simposio: Inducción de inmunidad protectora antiamibiana con "nuevos" antígenos en el hamster lactante. f) Comentarios y conclusiones. Bernardo Sepúlveda. 327

Entamoeba histolytica: *iron and nutritional immunity.* Louis S. Diamond, Dan R. Harlow, Bruce P. Phillips, David B. Keister. 329

Determinación del antígeno amibiano en heces por el método ELISA (enzyme linked immuno sorbent assay) para la identificación de Entamoeba histolytica. Olivia Palacios B., Rafael de la Hoz, Hernán Sosa. 339

Reproducibility of indirect hemagglutination and countercurrent electrophoresis tests on sera from patients in an area of endemic amebiasis. L. de Bonilla, G. R. Healy, F. Scott, G.V. Visvesvara. 349

Un nuevo método de hemaglutinación para determinar anticuerpos contra Entamoeba histolytica. Librado Ortíz-Ortíz, Norma R. Capín, Ruth Capín, Guillermo Zamacona. 351

Serologic responses in amebiasis. Howard Kim, S. Finkelstein. 357

Serology of amebiasis using the Fiax™ system: Roy G. Taylor, Thomas R. Pérez. 363

Amibiasis intestinal en niños. I. Frecuencia y características de diversas formas clínicas. Informe preliminar. Enrique Castañeda-Castañeira, Luis Carlos Baca-Rodríguez, Francisco Javier Serafín-Anaya, Gonzalo Gutiérrez-Trujillo. 367

Amibiasis intestinal en niños. II. Evaluación de diversas técnicas diagnósticas y distintos esquemas terapéuticos. Francisco Javier Serafín-Anaya, Enrique Castañeda Castañeira, Silvia Díaz, Olivia Palacios, Gonzalo Gutiérrez-Trujillo. 371

La amibiasis intestinal en el niño. I. Estudio etiológico de las lesiones de colon rectosigmoideo. Hans Romer, Eva Pérez de Suárez, Aura de Lares, Delia de Dávila, María de los A. Gómez, María de Galindo, Cristina de Fermín, Yamila Yamín, Bertha de Torres, José Esparza, Norka Alvarez, Pedro Torres. 375

Achievements and obstacles in research for new anti-amoebic drugs. Ivo de Carneri, Candia Carnevali. 381

Antiamoebic activity of drugs given singly and in combination against axenically grown Entamoeba histolytica. Ralph A. Neal. 387

Simposio: Estado actual del diagnóstico y el tratamiento de la amibiasis invasora por Entamoeba histolytica. *a) Utilidad de la ultrasonografía en el diagnóstico y la evolución del absceso hepático amibiano.* Miguel Stoopen, Kenji Kimura, Julieta Rodríguez, Jorge A. Betanco, Luis Landa. 393

Simposio: Estado actual del diagnóstico y el tratamiento de la amibiasis invasora por Entamoeba histolytica. *b) Estado actual de la centelleografía hepática.* Felipe Gordon B. 403

Simposio: Estado actual del diagnóstico y el tratamiento de la amibiasis invasora por Entamoeba histolytica. *c) Tratamiento médico de la amibiasis.* Alfonso Perches. 407

Simposio: Estado actual del diagnóstico y el tratamiento de la amibiasis invasora por Entamoeba histolytica. *d) Tratamiento quirúrgico de las complicaciones de la amibiasis invasora.* Jorge Bautista. 411

número 2

Descripción de un método para determinar sueros con IgE elevada: prueba por medio de inactivación de fagos cubiertos con anti-IgE. Description of a method for measuring sera with a high level of IgE: test through the inactivation of anti-IgE covered phages. Cristina Fresán-Orozco, Magdalena F. Contreras, Guillermo Zamacona, Librado Ortíz-Ortíz. 417

Tolerancia del feto con anemia congénita a las contracciones uterinas inducidas. Tolerance of the fetus with congenital anemia to induced uterine contractions. Luis Sentíes, Miguel A. Urzúa, Pablo González-Roldán, Francisco J. Gómez-García, Juan Armas. 429

Crecimiento postnatal del niño con desnutrición intrauterina. Post-natal growth of the child born with intra-uterine malnutrition. Juan Urrusti-Sanz, Pablo Yoshida-Ando, Silvestre Frenk, Luis Velasco-Cándano, Adolfo Rosado, Alberto Miranda-Rodríguez, Ana Lilia Aspra, Alfonso Bernal. 439

Modificaciones del metabolismo de leucocitos durante el crecimiento de niños nacidos con desnutrición. Changes in leucocyte metabolism during growth in children born with malnutrition. Alfonso Bernal, Adolfo Rosado, Silvestre Frenk, Juan Urrusti-Sanz, Luis Velasco-Cándano, Alberto Miranda-Rodríguez, Pablo Yoshida-Ando. 447

La función suprarrenal en la corticoterapia tópica. Adrenal function in topic corticotherapy. Alberto M. Alcalá-Carenzo, Gregorio Podoswa-Martínez, Edmundo Velázquez-G., Consuelo Barrón-U., Elisa Junco, Bárbara Urquieta, Lourdes Mondragón. 459

número 3

Hemaglutinación indirecta con PPD en el líquido cefalorraquídeo para el diagnóstico de la meningoencefalitis tuberculosa. Indirect hemagglutination with PPD in cerebrospinal fluid for the tuberculous meningoencephalitis. Onofre Muñoz, Héctor Guiscafre, Aquiles Feria, María López, Salvador Martínez-Cairo. 469

Galactosemia por deficiencia de la enzima uridiltransferasa de la galactosa-1-fosfato. Galactosemia as a result of galactose-1-phosphate uridyltransferase deficiency. Gerardo Vaca, José Sánchez-Corona, Claudina Medina, Norma Olivares, Horacio Rivera, Alejandro Hernández, Bertha Ibarra, José Manuel Sotomayor, José María Cantú. 477

Síntesis hepática y destino de la albúmina en el síndrome nefrótico primario (SNP). Determinación por inmunofluorescencia. Hepatic synthesis and albumin distribution in the primary nephrotic syndrome (PNS) as demonstrated by immunofluorescence. Emilio Exaire, Francisco González, Miguel Stoopen, Jesús Aguirre, Alejandro Pérez, Ma. Luisa Gutiérrez. 485

Detección de productos de degradación de fibrina y fibrinógeno (PDF) en orina de pacientes con trasplante renal. Detection of urinary fibrin-fibrinogen degradation products in kidney transplantation. Emilio Exaire, Gilberto Flores-Izquierdo, Federico Ortíz, Javier Pizzuto, Melvin Cruz, Ma. Luisa Gutiérrez. 503

Absorción y producción de líquido cefalorraquídeo en el conducto subaracnoideo espinal del perro. Production and absorption of cerebrospinal fluid in the spinal subarachnoid space of the dog. David del Pozo-Reyes, Mauro Loyo-Varela, Bruno Estañol-Vidal, José Humberto Mateos-Gómez. 511

número 4

Microanalytical RPC-5 columns for rapid chromatography of aminoacyl-tRNAs. Cromatografía rápida de aminoacil-ARNt en columnas microanalíticas de CFR-5. Rafael Hernández-Velarde, Charles Hedgcoth. 519

Patrones de flujo y presión en modelos de conductos semicirculares. Efectos de las aceleraciones angulares en uno o dos planos espaciales. Endolymph flow pressure patterns in models of semicircular canals. Effects of angular accelerations in one or two spatial planes. Luis Benítez D., Alfredo Martínez M., Jorge Corvera, Efraín Dávalos V. 527

Grupos sanguíneos ABO y Rh^0 (D) en poblaciones del IMSS en el Estado de Nuevo León. (Cálculo de la frecuencia de matrimonios e hijos con incompatibilidad simple y doble.) ABO and Rh^0 (D) blood groups in IMSS population in the state of Nuevo Leon. (Estimation of simple and double incompatibility frequency in married couples and their offsprings.) Raúl Garza-Chapa, Ma. del Refugio González-Rendón, Guadalupe Joffre. 541

Prueba rápida para el diagnóstico de la sífilis mediante un método de fijación de superficie utilizando como antígenos VDRL y Treponema pallidum *(cepa Nichols). Rapid test for diagnosis of syphilis by means of the surface fixation method using as antigens VDRL and* Treponema pallidum *(strain Nichols).* Maximiliano Ruíz-Castañeda, Yolanda Naranjo. 559

Aislamiento de una substancia hipotensora de la semilla de Casimiroa edulis. *Isolation of a hypotensive substance from seeds of* Casimiroa edulis. Lozoya X., Rodríguez D., Ortega J., Enríquez R. 565

índice de materias

a

ABO y Rh^{O} (D) en poblaciones del IMSS en el estado de Nuevo León. (Cálculo de la frecuencia de matrimonios e hijos con incompatibilidad simple y doble.) Grupos sanguíneos 541

Absceso hepático amibiano. Determinación de complemento y vía alterna del complemento en pacientes con 297

Amibiasis. Reacciones serológicas en 357

Amibiasis intestinal en niños. I. Frecuencia y características de diversas formas clínicas. Informe preliminar. 367

Amibiasis intestinal en niños. II. Evaluación de diversas técnicas diagnósticas y distintos esquemas terapéuticos 371

Antígenos VDRL y *Treponema pallidum* (cepa de Nichols). Prueba rápida para el diagnóstico de sífilis por medio del método de fijación de superficie, usando como 559

b

Biología celular. Crecimiento clonal de *Entamoeba* en agar: Algunas aplicaciones de ésta técnica al estudio de su 237

c

Casimiroa edulis. Aislamiento de la substancia hipotensora de la semilla de 565

Celebración del VII Seminario sobre Amibiasis. Palabras del señor doctor Gilberto Flores Izauierdo, Subdirector General Médico del IMSS, con motivo de la 87

Cisticercosis. Reacción de inmunofluorescencia indirecta en 51

Colon rectosigmoideo. La amibiasis intestinal en el niño. I. Estudio etiológico de las lesiones de 375

Columnas microanalíticas de CFR-5. Cromatografía rápida de aminoacil ARNt en 519

Comentarios de introducción. Simposio sobre la virulencia de *Entamoeba histolytica.* 161

Comentarios y conclusiones. Simposio sobre inducción de inmunidad protectora antiamibiana con "nuevos" antígenos en el hamster lactante. 327

Conductos semicirculares. Efectos de las aceleraciones angulares en uno o dos planos espaciales. Patrones de flujo y presión en modelos de 527

Contracciones uterinas inducidas. Tolerancia del feto con anemia congénita a las 429

Corticoterapia tópica. La función suprarrenal en la 459

d

Desnutrición. Modificaciones del metabolismo de leucocitos durante el crecimiento de niños nacidos con 447
Desnutrición intrauterina. Crecimiento postnatal del niño con 439

e

Entamoeba histolytica. Activación de la vía alterna del complemento por varias cepas axénicas de 291
E. histolytica. Actividad citopatogénica en estractos de trofczoítos de 155
Entamoeba histolytica con anticuerpos de pacientes de amibiasis. Identificación de antígenos de membrana de 211
Entamoeba histolytica cultivada en medio axénico. Producción de lesiones cecales en cobayos recién nacidos con 223
Entamoeba histolytica desarrollada en cultivo axénico. Captación de pirimidinas seleccionadas por 133
Entamoeba histolytica en cultivo axénico. Composición de aminoácidos en las proteínas totales de dos cepas de 129
Entamoeba histolytica en cultivo axénico. Estudio ultramicroscópico de la invasión de la mucosa del colon por 275
Entamoeba histolytica desarrollada en medio axénico. Actividad antiamibiana en fármacos administrados solos y en combinación contra 387
Entamoeba histolytica: estudio cuantitativo. Fagocitosis de eritrocitos humanos por 219
Entamoeba histolytica. Inestabilidad del contenido de DNA en 117
Entamoeba histolytica. Inmunoquímica de proteínas inmunogénicas de 149
Entamoeba histolytica libre de células. Citotoxicidad de un estracto de 233
Entamoeba histolytica. Oxidación biológica y catálisis flavoproteínica en 89
Entamoeba histolytica. Pirofosfatasas fijas en la membrana de 141
Entamoeba histolytica. Reacción inmunitaria de hamsters infectados o inmunizados con 303
Entamoeba histolytica. Serología con polisacáridos de 285
Entamoeba histolytica. Un nuevo método de hemaglutinación para determinar anticuerpos contra 351
Entamoeba invadens. Composición de la pared celular de quistes de 99
Entamoeba invadens. Efectos de ácido nordihidroquayarético y etanol sobre el crecimiento de 157
Entamoeba invadens, E. histolytica y E. coli. Estructura ultramicroscópica de la pared de quistes de 113
Entamoeba invadens. Formación de la pared celular durante el enquistamiento de 105
Entamoeba invadens. Simposio sobre la virulencia de *Entamoeba histolytica*. Caracterización de moléculas superficiales de 175
Entamoebas y su caracterización inmunoquímica. Redistribución de antígenos superficiales de 183
Epitelio cecal del cobayo. Interacción entre *Entamoeba histolytica* y el 261
Estado actual de la centelleografía hepática. Simposio sobre estado actual del diagnóstico y el tratamiento de la amibiasis invasora por *Entamoeba histolytica*. 403

f

Fagos cubiertos con anti-IgE. Descripción de un método para determinar sueros con IgE elevada: prueba por medio de inactivación de 417

g

Glándula de Harder de la rata recién nacida. Efectos de las condiciones de luz ambiental sobre la ultraestructura de la 67

h

Hemaglutininas en algunas leguminosas comestibles. Inhibidores de tripsina y 1
Hemodinamia renal del perro. Efectos de la administración de manitol y furosemida en la 59
Hierro e inmunidad nutricional. *Entamoeba histolytica:* 329
Histopatología. Simposio sobre inducción de inmunidad protectora antiamibiana con "nuevos" antígenos en el hamster lactante. 321

i

Introducción. Simposio sobre inducción de inmunidad protectora antiamibiana con "nuevos" antígenos en el hamster lactante. 309

l

Linfoblastos malignos. Inducción de la autólisis de 33
Linfoma murino L5178Y. Marcación de enzimas proteolíticas de linfoblastos malignos Estudio en el 15
Líquido cefalorraquídeo en el conducto subaracnoideo espinal del perro. Absorción y producción de 511

m

Material antigénico. Simposio sobre inducción de inmunidad protectora antiamibiana con "nuevos" antígenos en el hamster lactante. 311
Meningoencefalitis tuberculosa. Hemaglutinación indirecta con PPD en el líquido cefalorraquídeo para el diagnóstico de la 469
Método ELISA (enzyme linked immunosorbent assay). Determinación del antígeno amibiano en heces por el 339
Microscopia electrónica de transmisión de alto voltaje y microscopia electrónica de centelleo. Ultraestructura de superficie de *Entamoeba histolytica:* Estudio por 191

n

Nuevas cepas mexicanas de *Entamoeba histolytica.* Cultivo y establecimiento de 229
Nuevos fármacos antiamibianos. Logros y obstáculos en la investigación de 381

p

Pacientes de un área de amibiasis endémica. Reproducibilidad de las pruebas de hemaglutinación indirecta y electroforesis a contracorriente en sueros de 349
Palabras de bienvenida. Séptimo Seminario sobre Amibiasis 85

r

Reacción inmunológica. Simposio sobre inducción de inmunidad protectora antiamibiana con "nuevos" antígenos en el hamster lactante 325
Regulación autoinmunitaria en amibiasis. Inmunidad protectora y posible 247
RNA de *Entamoeba histolytica.* Análisis de aislamiento y sedimentación de 121

s

Síndrome nefrótico primario (SNP). Determinación por inmunofluorescencia. Síntesis hepática y destino de la albúmina en el 485
Sistema Fiax^{MR}. Serología de la amibiasis usando el 363

t

Técnicas utilizadas. Simposio sobre inducción de inmunidad protectora antiamibiana con "nuevos" antígenos en el hamster lactante 315
Toxicidad variable de la cepa HK9 de *Entamoeba histolytica.* Simposio sobre la virulencia de *Entamoeba histolytica.* 167
Trasplante renal. Detección de productos de degradación de fibrina y fibrinógeno (PDF) en orina de pacientes con 503
Tratamiento médico de la amibiasis. Simposio sobre estado actual del diagnóstico y el tratamiento de la amibiasis invasora por *Entamoeba histolytica.* 407
Tratamiento quirúrgico de las complicaciones de la amibiasis invasora Simposio sobre estado actual del diagnóstico y el tratamiento de la amibiasis invasora por *Entamoeba histolytica.* 411

u

Un método ELISA para la detección de antígenos de *Entamoeba histolytica* en muestras fecales. Desarrollo y estandarización de 203
Uridiltransferasa de la galactosa-1-fosfato. Galactosemia por deficiencia de la enzima 477
Utilidad de la ultrasonografía en el diagnóstico y la evolución del absceso hepático amibiano. Simposio sobre estado actual del diagnóstico y el tratamiento de la amibiasis invasora por *Entamoeba histolytica.* 393

v

Virulencia de *Entamoeba histolytica* cultivada en medio axénico por medio de colesterol. Restablecimiento de la 253
Virulencia de *E. histolytica*. Un modelo in vitro para el estudio cuantitativo de la 257
Virus amibianos y virulencia de *Entamoeba histolytica.* Simposio sobre la virulencia de *Entamoeba histolytica.* 165

subject index

ABO and Rh^{O} (D) blood groups in IMSS population in the state of Nuevo Leon. (Estimation of simple and double incompatibility in married couples and offspring.) 541

Amebal hepatic abscess. Determination of complement and alternative complement pathway in patients with 297

Amebal viruses and the virulence of *Entamoeba histolytica.* Symposium on the virulence of *Entamoeba histolytica.* 165

Amebiasis. Serologic responses in 357

An ELISA method for the detection of *Entamoeba histolytica* antigens in fecal samples. The development and standardization of 203

Antigenic material. Symposium: Induction of antiamebal protective immunity with "new" antigens in the sucking hamster. 311

Antigens VDRL and *Treponema pallidum* (strain Nichols). Rapid test for diagnosis of syphilis by means of the surface fixation method using as 559

Anti-IgE covered phages. Description of a method for measuring sera with a high level of IgE: test through the inactivation of 417

Autoimmune regulation in amebiasis. Protective inmunity and possible 247

c

Casimiroa edulis. Isolation of a hypotensive substance from seeds of 565

Cell biology. Clonal growth of Entamoeba in agar: Some applications of this technique to the study of their 237

Cell free extract of *Entamoeba histolytica.* Citotoxicity of a 233

Cerebrospinal fluid in the spinal subarachnoid space of the dog. Production and absorption of 511
Comments and conclusions. Symposium: Induction of antiamebal protective immunity with "new" antigens in the sucking hamster 327
Cysticercosis. Indirect immunofluorescence reaction in 51

e

ELISA method in order to identify *Entamoeba histolytica.* Determination of amebal antigens in feces by means of 339
Employed technique. Symposium: Induction of antiamebal protective immunity with "new" antigens in the sucking hamster 315
Entamoeba and its immunochemical characterization. Redistribution of surface antigens of 183
Entamoeba invadens. Characterization of surface molecules of 175
Entamoeba invadens cyst wall. Composition of 99
Entamoeba invadens. Effects of norhydroguaiaretic acid and etanol on the growth of 157
Entamoeba invadens. E. bistolytica and *E. coli* cyst wall. Ultramicroscopic structure of 113
Entamoeba invadens. Formation of cell wall during the encystment of 105
Entamoeba bistolytica. Activation of the alternative complement pathway by several axenic strains of 291
Entamoeba histolytica axenically cultured. Ultramicroscopic study of the colon mucous membrane invasion by 275
Entamoeba histolytica. A new method of hemagglutination to identify antibodies against 351
Entamoeba histolytica. Antiamoebic activity of drugs given singly and in combination against axenically grown 387
Entamoeba histolytica. Biological oxidations and flavoprotein catalysis in 89
E. histolytica. Cytopathogenic activity from trophozoite extracts of 155
Entamoeba histolytica grown in axenic culture. Aminoacid composition in total proteins from two strains of 129
Entamoeba histolytica. Immune response of hamsters infected or immunized with 303
Entamoeba histolytica. Immunochemistry of immunogenic proteins of 149
Entamoeba histolytica. Membrane bound pyrophosphatases in 141
Entamoeba histolytica. Production of cecal lesions in newborn guinea pigs with axenically cultivated 223
Entamoeba histolytica quantitative study. Phagocytosis of human red cells by 219
Entamoeba histolytica. Serology with polysaccharides of 285
Entamoeba histolytica. Unstability of DNA content in 117
Entamoeba histolytica. Uptake of selected pyrimidines by axenically grown 133
Entamoeba histolytica with antibodies of patients with amebiasis. Identification of membrane antigens of 211

f

Fiax™ system. Serology of amebiasis using the 363

g

Galactose-1-phosphate uridyl-transferase deficiency. Galactosemia as a result of 477
Guinea pig cecal epithelium. Interaction between *Entamoeba histolytica* and the 261

h

Hemagglutination in certain edible leguminosae. Trypsin inhibitors and 1
High voltage transmission electron microscopy (HVTEM) and scanning electron microscopy (SEM). Surface ultrastructure of *Entamoeba histolytica.*: a study of 191
Histopathology. Symposium: Induction of antiamebal protective immunity with "new" antigens in the sucking hamster 321

i

Immune response. Symposium: Induction of antiamebal protective immunity with "new" antigens in the sucking hamster 325
Induced uterine contractions. Tolerance of the fetus with congenital anemia to 429
Intestinal amebiasis in children. I. Incidence and features of several clinical forms. Preliminary report. 367

Intestinal amebiasis in children. II. Evaluation of several diagnostic techniques and therapeutic programs. 371
Intra-uterine malnutrition. Postnatal growth of the child born with 439
Introduction. Symposium: Induction of antiamebal protective immunity with "new" antigens in the suckling hamster. 309
Introductory remarks. Symposium on the virulence of *Entamoeba histolytica* 163
Iron and nutritional immunity. *Entamoeba histolytica:* 329

k

Kidney transplantation. Detection of urinary fibrin-fibrinogen degradation products in 503

l

L5178Y murine lumphoma. Proteolytic enzymes marking of malignant lymphoblasts. Study of the 15

m

Malignant lymphoblasts. Autolysis induction of 33
Malnutrition. Changes in leucocyte metabolism during growth in children born with 447
Medical therapy of amebiasis. Symposium: Present state of diangosis and therapy of invasive amebiasis by *Entamoeba histolytica.* 407
Microanalytical RPC-5 columns for rapid chromatography of aminoacyl-tRNAs. 519

n

New anti-amoebic drugs. Achievements and obstacles in research for 381
New mexican strains of *Entamoeba histolytica*. Culture and establishment of 229

p

Patients in an area of endemic amebiasis. Reproducibility of indirect hemagglutination and countercurrent electrophoresis tests on sera from 349
Pineal gland. Effects of the environmental light conditions on the ultrastructure of the Harderian gland in the newborn rat. Biochemical corelation with the 67
Present state of liver scintiscan. Symposium: Present state of diagnosis and therapy of invasive amebiasis by *Entamoeba histolytica.* 403
Primary nephrotic syncrome (PNS) as demonstrated by immunofluorescence. Hepatic synthesis and albumin distribution in the 485
Procrosigmoid colon. The intestinal amebiasis of childhood. I. Ethiologic study of lesions of 375

r

Renal hemodynamics of the dog. Effects of administration of mannitol and furosemide in the 59
RNA from *Entamoeba histolytica.* Isolation and sedimentation analysis of 121

s

Semicircular canals. Effects of angular accelerations in one or two spatial planes. Endolymph flow pressure patterns in models of 527
Seventh Seminary on Amebiasis celebration. Allocution of Dr. Gilberto Flores Izquierdo, Subdirector General Médico of the IMSS, on the ocassion of the 87
Surgical therapy of invasive amebiasis complications. Symposium: Present state of diagnosis and therapy of invasive amebiasis by *Entamoeba histolytica.* 411

t

Topic corticotherapy. Adrenal function in tuberculous meningoencephalitis. Indirect hemagglutination with PPD in cerebrospinal fluid for the diagnosis of 459 469

u

Usefulness of ultrasonography in the diagnosis and the course of amebic liver abscess. Symposium: Present state of diagnosis and therapy of invasive amebiasis by. *Entamoeba histolytica.* 393

v

Variable toxicity within the HD 9 strain of *Entamoeba histolytica.* Symposium on the virulence of *Entamoeba histolytica.* 167
Virulence of axenically-cultivated *Entamoeba histolytica* by cholesterol. Restoration of 253
Virulence of *E. histolytica.* An in vitro model for the quantitative study of 257

w

Welcome address. Seventh Seminary on Amebiasis. 85

índice de autores

authors' index

a

Acosta-Valle, H. 175, 183
Aguirre, J. 485
Albach, R.A. 121, 133
Alcalá-Carenzo, A.M. 459
Alvarez, N. 375
Arcila-Herrera, H. 59
Arellano-Blanco, J. 15, 33
Armas, J. 329
Arroyo-Begovich, A. 99, 105, 309
Arteaga-Cruz, M.E. 1
Aspra A.L. 439

b

Baca-Rodríguez, L.C. 367
Barrón-U., C. 459
Bautista, J. 411
Benítez, L. 527
Bernal, A. 439, 447
Betanco, J.A. 393
Bonilla, L. 349
Booden, T. 121, 133
Boonlayangoor, P. 121, 133
Bos, H.J. 167

c

Calderón, J. 175, 183, 211
Cantey, J.R. 233
Cantú, J.M. 477
Capín, N.R. 291, 197, 351
Capín, R. 291, 303, 351
Carabez-Trejo, A. 99
Carnevali, C. 381
Castañeda-Castañeira, E. 367, 371
Ceh-Castillo, E. 59
Cervantes, G. 15
Chávez, R. 113, 261
Cid, M.E. 211
Cole, F.X. 203
Contreras, M.F. 417

Corvera, F. 527
Cruz de Lavin, E. 275
Cruz, M. 503

d

Dávalos, E. 527
De Carneri, D. 381
De Dávila, D. 375
De Fermín, C. 375
De Galindo, M. 375
De la-Hoz, R. 219, 229, 339
De Lares, A. 375
De la-Torre, M. 113, 219, 229
Del Pozo-Reyes, J. 511
De Torres, B. 375
Diamond, L.S. 89, 163, 165, 223, 237, 329
Díaz, S. 371

e

Elwood-Clagget, C. 89
Enríquez, R. 565
Esparza, J. 375
Estañol-Vidal, B. 511
Exaire, E. 485, 503

f

Feria, A. 469
Feria-Velasco, A. 67
Fernández-Quintero, P. 33
Finkelstein, S. 357
Flores-Izquierdo, G. 87, 503
Frenk, S. 439, 447
Fresán-Orozco, C. 417

g

García-Tamayo, F. 149, 285
Garza-Chapa, R. 541
Ghadirian, E. 247, 253
Guillin, F.D. 237
Gómez-Estrada, H. 15-33
Gómez-García, J.J. 429
Gómez, M.A. 375
Gómez, R. 117
González-Roldán, P. 429
Góngora-Biachi, R. 59
González-Barranco, D. 51
González de Arcila, M.F. 59
González, F. 485
González-Garza, M.F. 33
González-Rendón, M.R. 541
Gordon, F. 403
Guiscafre, H. 469
Gutiérrez, M.L. 485,503
Gutiérrez-Trujillo, G. 367, 371

h

Hartman, D.P. 247
Harlow, D.R. 329
Healy, G.R. 349
Hedgcoth, Ch. 519
Hernández, A. 477
Hernández-Infante, M. 1
Hernández-Velarde, R. 519
Hofbauer, A.F. 191, 233

i

Ibarra, A. 477
Isibasi, A. 285

j

Jiménez, M. 297
Joffre, G. 541
Junco, E. 459

k

Kairalla, A.B. 233
Keister, D.B. 165, 329
Kim, H. 357
Kimura, K. 393
Kumate, J. 149, 285

l

Landa, L. 393
Lindmark, D.G. 141
López, M. 469
López-Revilla, R. 117, 129, 155, 257
Loyo-Varela, M. 511
Lozoya, X. 565
Lushbaugh, W.B. 191, 233

m

Malpica, I. 67
Martínez, A. 527
Martínez-Cairo, S. 469
Martínez-Palomo, A. 105, 113, 219, 223, 257, 261, 309, 321
Mateos-Gómez, J.H. 511
Mattern, C.F.T. 165
Mc-Laughlin, J. 141

Medina, C. 477
Meerovitch, E. 247, 253
Miranda-Rodríguez, A. 439, 447
Mondragón, L. 459
Mora-Galindo, J. 261
Muller, M. 141
Muñoz-M., M.L. 175, 183
Muñoz, O. 469

n

Naranjo, Y.
Navarro, U. 129
Neal, R.A. 387
Novelo-Rosado, H. 59

o

Olivares, N. 477
Orozco, E. 257
Ortega, J. 565
Ortíz, F. 485
Ortíz-Ortíz, L. 291, 297, 303, 309, 325, 351,417
Otten, M. 121

p

Palacios, O. 339, 371
Parkhouse, M. 211
Perches, A. 407
Pérez, A. 485
Pérez de Suárez, E. 219, 229, 375
Pérez T.R. 363
Phillips, B.P. 329
Pittman, F.E. 191, 233
Pittman, J.C. 191, 233
Pizzuto, J. 503
Podoswa-Martínez, G. 459

r

Ríos, D. 303
Rivera, H. 477
Rodríguez, D. 565
Rodríguez, J. 393
Romer, H. 375
Root, D.M. 203
Rosado, A. 439, 447
Ruíz-Castañeda, M. 559
Ruíz-Herrera, J. 99

s

Said-Fernández, S. 185
Sánchez-Corona, J. 477
Sánchez-Márquez, N. 149, 285
Sánchez-Pares, M. E. 105
Sandoval-Islas, M.E. 51
Scott, F. 349
Segura, J.J. 157
Sentíes, L. 429
Sepúlveda, B. 85, 309, 327
Serafín-Anaya, F.J. 367, 371
Sosa, H. 339
Sotelo-López, A. 1
Sotomayor, J.M. 477
Stoopen, M. 393, 485

t

Takeuchi, T. 89
Tanimoto, Weki, M. 223, 275, 309, 315
Tapia-Arizmendi, G. 15, 67
Taylor, R.G. 363
Torres, P. 375
Treviño-García Manzo, N. 275
Trissl, D. 219
Trujillo-Valdés, V.M. 51

u

Urquiet:., B. 459
Urrusti-Sanz, J. 439, 447
Urzúa, M.A. 429

v

Vaca, G. 477
Van de Griend, R.J. 167
Velasco-Cándano, L. 439, 447
Velázquez-G., E. 459
Visvesvara, G.V. 349

w

Weinbach, E.C. 89
Williamson, J.A. 203

y

Yasmín, Y. 375
Yoshida-Ando, P. 439, 447

z
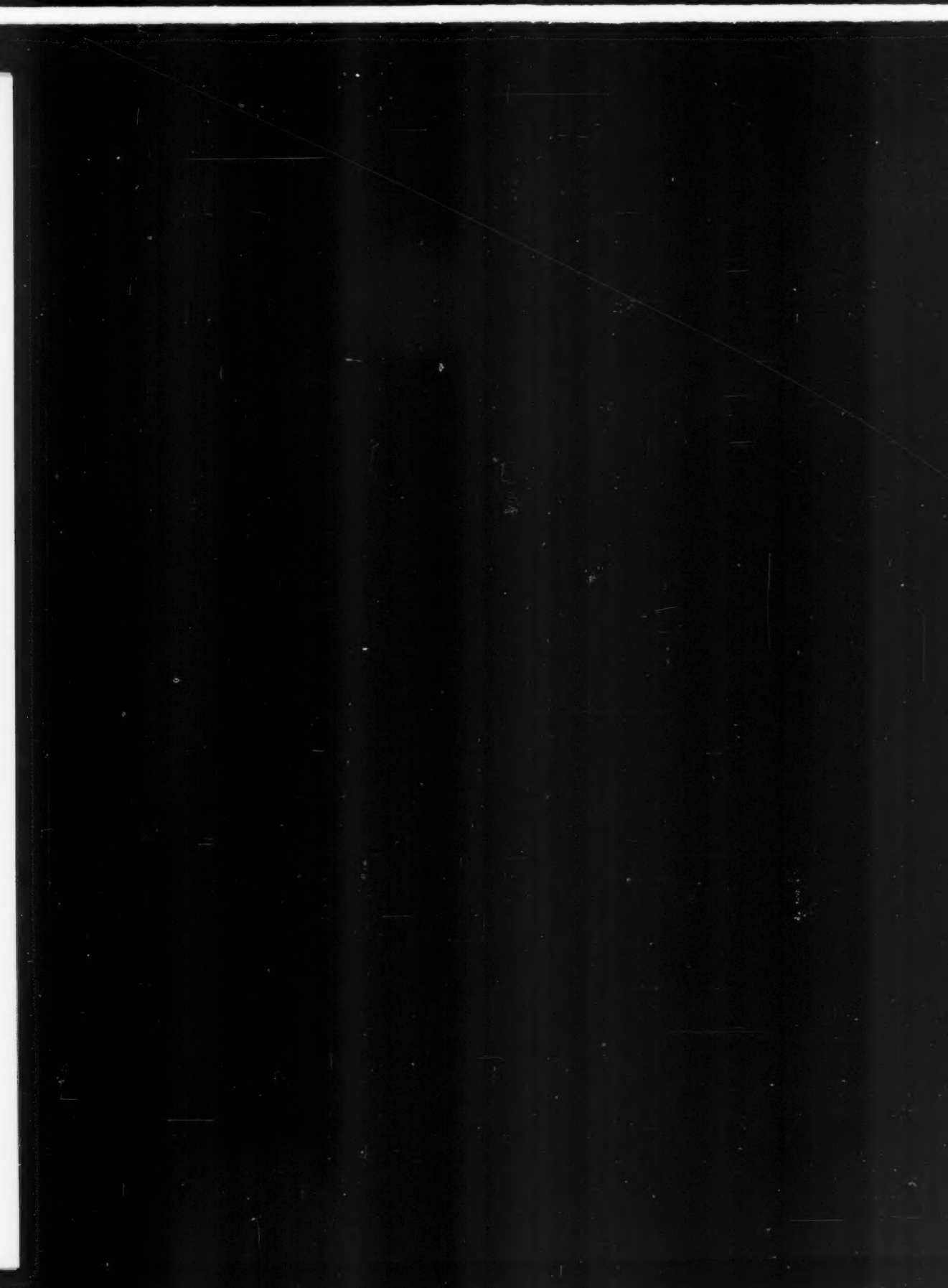
Zamacona, G. 291, 297, 351, 417
Zapata de Hernández, A. 59